

**Zeitschrift:** Entomologica Basiliensia  
**Herausgeber:** Naturhistorisches Museum Basel, Entomologische Sammlungen  
**Band:** 20 (1997)

**Artikel:** Faunistische und systematische Übersicht der Ebaeus-Arten (Coleoptera, Malachiidae) aus Zentralasien  
**Autor:** Dowgailo, K.  
**DOI:** <https://doi.org/10.5169/seals-980443>

### **Nutzungsbedingungen**

Die ETH-Bibliothek ist die Anbieterin der digitalisierten Zeitschriften auf E-Periodica. Sie besitzt keine Urheberrechte an den Zeitschriften und ist nicht verantwortlich für deren Inhalte. Die Rechte liegen in der Regel bei den Herausgebern beziehungsweise den externen Rechteinhabern. Das Veröffentlichen von Bildern in Print- und Online-Publikationen sowie auf Social Media-Kanälen oder Webseiten ist nur mit vorheriger Genehmigung der Rechteinhaber erlaubt. [Mehr erfahren](#)

### **Conditions d'utilisation**

L'ETH Library est le fournisseur des revues numérisées. Elle ne détient aucun droit d'auteur sur les revues et n'est pas responsable de leur contenu. En règle générale, les droits sont détenus par les éditeurs ou les détenteurs de droits externes. La reproduction d'images dans des publications imprimées ou en ligne ainsi que sur des canaux de médias sociaux ou des sites web n'est autorisée qu'avec l'accord préalable des détenteurs des droits. [En savoir plus](#)

### **Terms of use**

The ETH Library is the provider of the digitised journals. It does not own any copyrights to the journals and is not responsible for their content. The rights usually lie with the publishers or the external rights holders. Publishing images in print and online publications, as well as on social media channels or websites, is only permitted with the prior consent of the rights holders. [Find out more](#)

**Download PDF:** 09.01.2026

**ETH-Bibliothek Zürich, E-Periodica, <https://www.e-periodica.ch>**

Entomologica Basiliensia	20	373–392	1997	ISSN 0253-2484
--------------------------	----	---------	------	----------------

## Faunistische und systematische Übersicht der *Ebaeus*-Arten (Coleoptera, Malachiidae) aus Zentralasien.

von K. Dowgailo

Abstract: Two new species: *Ebaeus maculiceps* (S Uzbekistan) and *E. lopatini* (O Kasakstan) are described. A key of the species from Central Asia is given.

Keywords: Coleoptera, Malachiidae – taxonomy – genus *Ebaeus* – faunistic Central Asia.

Das für die vorliegende Arbeit verwendete Material stammt grösstenteils aus dem NHMB ex coll. W. Wittmer, dem NMP coll. V. Švihla und meiner eigenen Sammlung. Den Herren Dr. W. Wittmer und Dr. V. Švihla danke ich bestens für das mir zur Verfügung gestellte Material und Dr. W. Wittmer für seine Erlaubnis diverse seiner Zeichnungen verwenden zu dürfen. Bis heute sind aus dem bearbeiteten Gebiet 45 Arten der Gattung *Ebaeus* Erichson beschrieben worden, von denen 2 für die Wissenschaft neu sind und 2 nicht gedeutet werden konnten, weil sie nach ♀ beschrieben wurden.

Verwendete Abkürzungen:

- MP = Museum de Paris
- NHMB = Naturhistorisches Museum, Basel (Dr. M. Brancucci)
- NMP = National Museum, Prag ( Dr. V. Švihla )
- SZM = Sibirisches Zoologisches Museum, Novosibirsk
- ZIN = Zoologisches Institut, Sankt-Petersburg
- ZMM = Zoologisches Museum, Moscow

### ***Ebaeus gibbosus* Wittmer**

Abb. 1–5.

*Ebaeus gibbosus* Wittmer, 1956, Rev. Suisse Zool. 63: 141, 149.

Für diese Art wurden noch keine Abbildungen veröffentlicht, was ich hiermit nachhole: Kopf (Abb. 1); Apex der Flügeldecke (Abb. 2); Tergit 8 (Abb. 3); Sternit 8 (Abb. 4); Aedeagus (Abb. 5).

### ***Ebaeus maculiceps* n.sp.**

Abb. 6–12.

♂. Kopf dreifarbig, Basis bis zum ersten Drittel der Augen schwarz, die schwarze Färbung zieht sich in der Mitte zwischen den Augen in variabler Länge nach vorne (Abb. 6), davor ungefähr in der Breite des verlängerten Fleckes orange, Rest des Vorderkopfes mit den Wangen

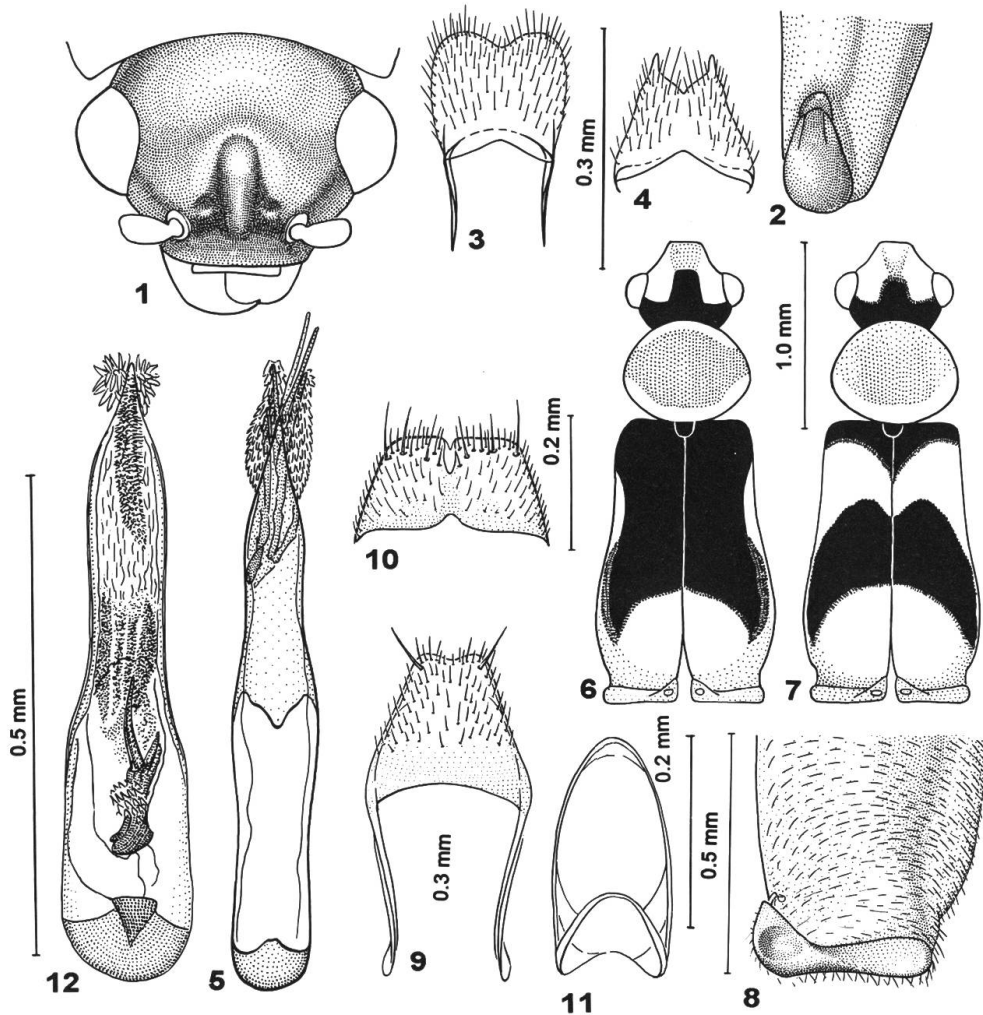


Abb. 1–12: 1–5: *Ebaeus gibbosus* Wittmer: 1, Kopf. 2, Apex der rechten Flügeldecke. 3, Tergit 8. 4, Sternit 8. 5, Aedeagus. 6–12: *E. maculiceps* n.sp.: 6–7, Umrisse des Körpers die Variabilität zeigend. 8, Apex der rechten Flügeldecke. 9, Tergit 8. 10, Sternit 8. 11, Tegmen. 12, Aedeagus. Massstab von 3 auch für 4; von 5 auch für 12; von 10 auch für 9.

weisslich; Fühler bräunlich, Glieder 1 bis 3 fast ganz gelb; Halsschild orange, Seiten, oder ringsum weiss; Schildchen schwarz; Flügeldecken weiss mit schwarzem Band auf der hinteren Hälfte, das bei hellen Exemplaren in zwei Teile zerfällt, Spitze und Anhängsel orange (Abb. 7, 8); Beine gelb, die letzten Tarsenglieder bräunlich; Ein Drittel des Apex des Abdomens mit Tergit 8 und Sternit 8 dunkel.

Kopf mit den Augen wenig schmaler als der Halsschild, Stirne leicht konkav, glatt. Fühler in zurückgelegtem Zustand fast  $1/3$  der Flügeldecken erreichend, Glieder 2 bis 10 gegen die Spitze stark verbreitert; 3 etwas länger als 2, 3 kürzer als 3. Halsschild breiter als lang, Seiten

gerundet verengt, Basalrand verrundet, fast glatt. Flügeldecken nach hinten leicht erweitert, schwach punktiert, Spitzen (Abb. 8) mit einem schmalen Anhängsel, das die ganze Breite einnimmt, gegen die Naht mit einem leicht flachen, ovalen Eindruck. Tergit 8 (Abb. 9) länger als breit, apikal verschmälert, Apex schwach gerundet ausgeschnitten. Sternit 8 (Abb. 10) breiter als lang, Apex gerade mit schmalen, kurzem Einschnitt. Tegmen (Abb. 11). Aedeagus dorsal (Abb. 12).

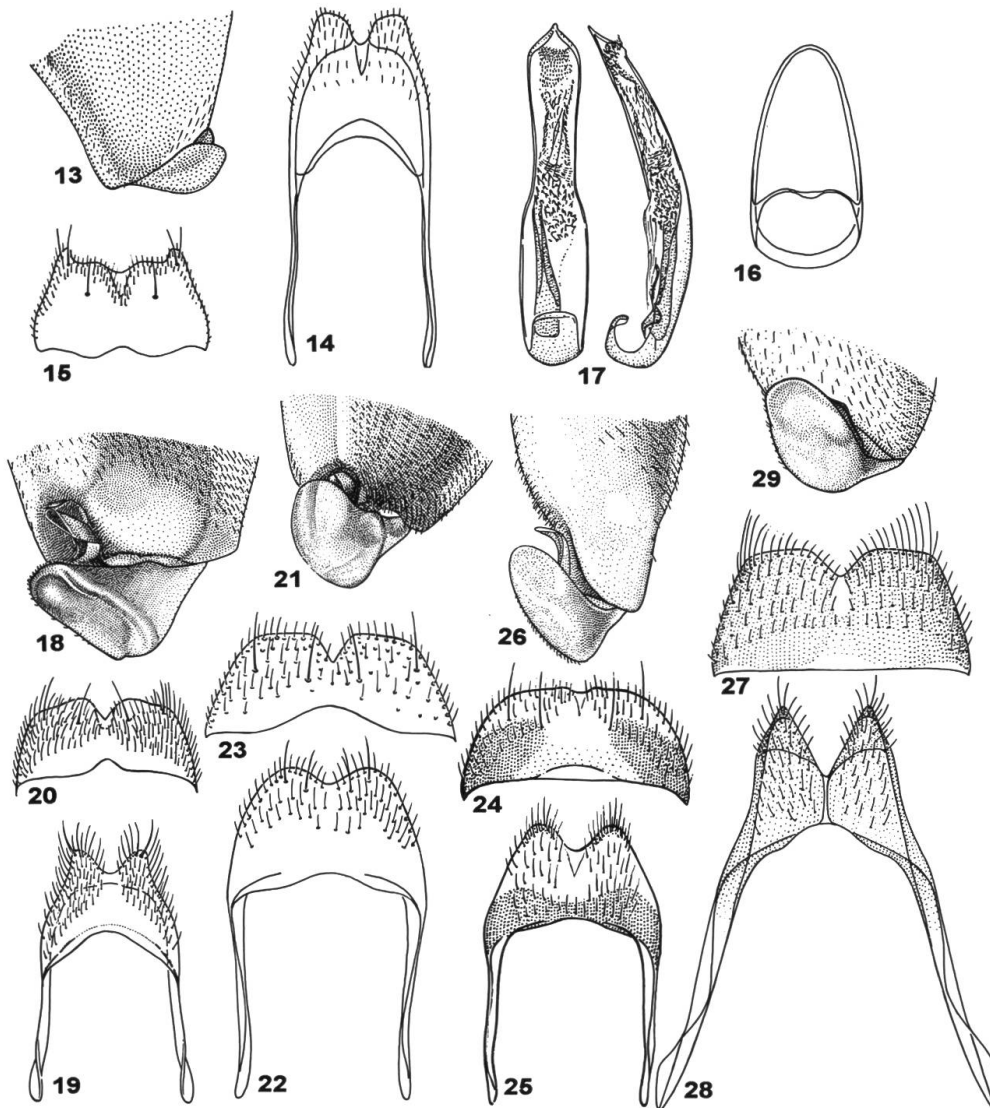


Abb. 13–29: 13–17: *Ebaeus lopatini* n.sp.: 13, Apex der linken Flügeldecke. 14, Tergit 8. 15, Sternit 8. 16, Tegmen. 17, Aedeagus. 18–20: *E. erythropus* Peyron: 18, Apex der rechten Flügeldecke. 19, Tergit 8. 20, Sternit 8. 21–23: *E. fischeri* Fleischer: 21, Apex der rechten Flügeldecke. 22, Tergit 8. 23, Sternit 8. 24–26: *E. basipes* Abeille de Perrin: 24, Sternit 8. 25, Tergit 8. 26, Apex der rechten Flügeldecke. 27–29: *E. rufipes* Morawitz: 27, Sternit 8. 28, Tergit 8. 29, Apex der rechten Flügeldecke.

♀. Wie das ♂ gefärbt, bis auf den Kopf, dessen Basis kurz schwarz, nach vorne weisslichgelb ist und die Flügeldecken, mit 2 grossen runden Flecken, hinter dem hellen Querband, die sich an der Naht berühren.

Länge: 2.4–2.5.

Holotypus (coll. Dowgailo): Uzbekistan: Karatau (Ausläufer Nuratau Gebirgskette), Sarmisch-Schlucht, 1500 m, 8.V.1994; Uzbekistan: NO Kugitang-Gebirgskette, Flussmarsch Scherobad, Pandsh-Ob, 1200 m, 23.IV.1995, 4 Paratypen (coll. Dowgailo), 2 Paratypen (NHMB), Uzbekistan Zeravschan Gebirgskette, Agalyk Fluss, near touristic, 40 km SW of Samarkand, 1500–1800 m, 20.V.1990, 2 Paratypen (NMP).

Neben *E. albopictus* Wittmer zu stellen, siehe Bestimmungstabelle.

### **Ebaeus lopatini** n.sp.

Abb. 13–17.

♂. Kopf bis zum Vorderrand der Augen schwarz, vorne gelb; Maxillarpalpen, Fühler und Beine gelb, nur die 4 letzten Fühlerglieder gebräunt, Halsschild orange; Schildchen schwarz; Flügeldecken gelb, an der Basis mit dreieckiger schwarzer Makel, die die Schultern einfasst; in der Mitte eine ovale schwarze Makel, die die Naht und Seiten nicht berührt; Spitze und Anhängsel gelborange.

Kopf mit den Augen schmaler als der Halsschild, Stirne zwischen den Augen ziemlich flach, glatt, mit feiner Behaarung. Fühler in zurückgelegtem Zustand die Mitte der Flügeldecken erreichend, Glieder 2 bis 10 gegen die Spitze schwach verbreitert, gleich lang, 4 bis 10 zwei mal länger als breit. Halsschild breiter als lang, Seiten gerundet verengt, alle Ränder verrundet, glatt. Flügeldecken nach hinten nur wenig verbreitert, sichtbar punktiert, kurz behaart; Apex (Abb. 13) eingedrückt, hinteres Anhängsel fast tropfenförmig, meistens etwas quer liegend, vorderes Anhängsel ziemlich breit, Spitze gerundet; Oberfläche flach, glatt. Tergit 8 (Abb. 14) breiter als lang, kurz eingeschnitten. Sternit 8 dreifach schwach ausgerandet, siehe (Abb. 15). Tegmen (Abb. 16). Aedeagus (Abb. 17).

♀. Wie das ♂ gefärbt, bei dunkeln Exemplaren berühren sich die hinteren schwarzen Makeln der Flügeldecken an der Naht; die gelbe Färbung geht meistens ins Orange über.

Länge: 3.7–4.2 mm.

Holotypus und 2 Paratypen ♀ (coll. Dowgailo): SO Kasakstan: Tscharyn Fluss, Kurtagoi, 30 km. SO Kokpeka, 2.VII.1987. I.K. Lopatin.

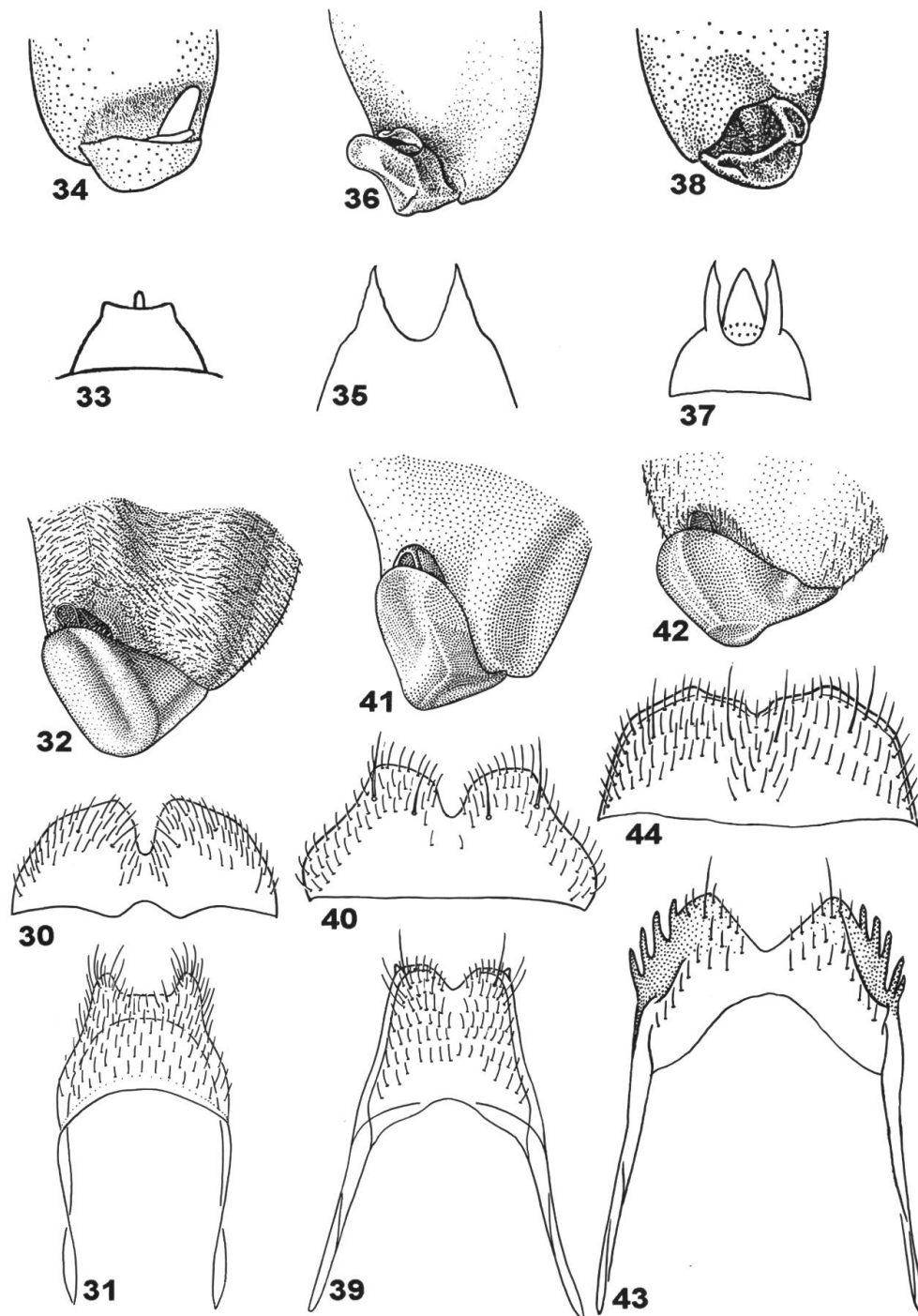


Abb. 30–44: 30–32: *Ebaeus pedicularius* Fabricius: 30, Sternit 8. 31, Tergit 8. 32, Apex der rechten Flügeldecke. 33–34: *E. cyaneoviridis* Wittmer: 33, Tergit 8. 34, Apex der linken Flügeldecke. 35–36: *E. pallidipes* Wittmer: 35, Tergit 8. 36, Apex der rechten Flügeldecke. 37–38: *E. spinifer* Wittmer: 37, Tergit 8. 38, Apex der linken Flügeldecke. 39–41: *E. turkestanicus* Abeille de Perrin: 39, Tergit 8. 40, Sternit 8. 41, Apex der rechten Flügeldecke. 42–44: *E. tritinctus* Wittmer: 42, Apex der rechten Flügeldecke. 43, Tergit 8. 44, Sternit 8.

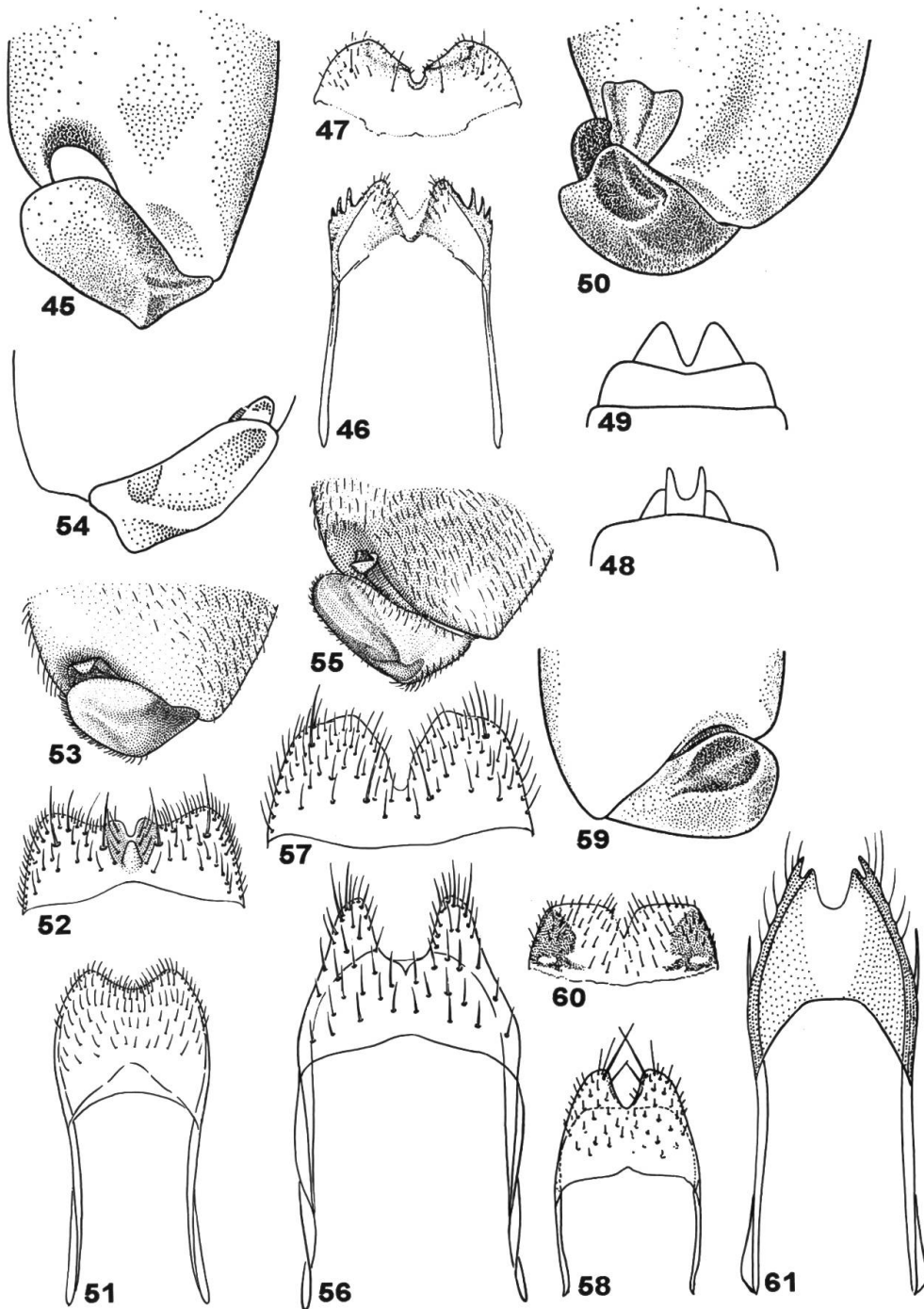


Abb. 45–61: 45–47: *Ebaeus spinimargo* Wittmer: 45, Apex der rechten Flügeldecke. 46, Tergit 8. 47, Sternit 8. 48–50: *E. ferganicus* Wittmer: 48, Tergit 8. 49, Sternit 8. 50, Apex der rechten Flügeldecke. 51–53: *E. decorus* Abeille de Perrin: 51, Tergit 8. 52, Sternit 8. 53, Apex der rechten Flügeldecke. 54: *E. robusticornis* Wittmer: 54, Apex der linken Flügeldecke. 55–57, *E. kasachstanicus* Švihla: 55, Apex der rechten Flügeldecke. 56, Tergit 8. 57, Sternit 8. 58–60: *E. karakumensis* Wittmer: 58, Tergit 8. 59, Apex der linken Flügeldecke. 60, Sternit 8. 61: *E. streiceki* Švihla: 61, Tergit 8.



- Flügeldecken schwarz mit heller Makel oder Band in der Mitte und hellen Spitzen . . . . . 14
- 10. Tergit 8 Apex fast gerade (Abb. 33). Basale 3/4 der Flügeldecken schwarz mit blauem oder grünem Glanz. Anhängsel (Abb. 34)  
**E. cyaneoviridis** Wittmer
- Tergit 8 ausgerandet . . . . . 11
- 11. Tergit 8 tief eingeschnitten, 2 scharfe Spitzen bildend . . . . . 12
- Tergit 8 ausgerandet, 2 runde oder stumpfe Spitzen bildend . 13
- 12. Tergit 8 in 2 regelmässige Spitzen auslaufend (Abb. 35). Anhängsel (Abb. 36)  
**E. pallidipes** Wittmer
- Tergit 8 Spitzen vor dem Apex unregelmässig verengt abgesetzt zugespitzt (Abb. 37). Anhängsel (Abb. 38) **E. spinifer** Wittmer
- 13. 4 erste Fühlerglieder 2 mal länger als breit. Epipleuren bis zu den Schulterbeulen hell **E. caspius flavolimbatus** Wittmer
- 4 erste Fühlerglieder 1.5 mal länger als breit. Hinterecken des letzten Tergits 8 mit kleinem Zahn (Abb.39). Sternit 8 (Abb. 40). Anhängsel (Abb. 41) **E. turkestanicus** Abeille de Perrin
- 14. Jede Tergitseite mit Kamm . . . . . 15
- Jede Tergitseite glatt, ohne Kamm . . . . . 16
- 15. Äusseres Anhängsel nach hinten gerundet, leicht stumpfwinklig (Abb. 42). Linke Tergitseite mit 5, rechte mit 4 Borstensförsätzen (Abb. 43). Sternit 8 (Abb. 44) **E. tritinctus** Wittmer
- Äusseres Anhängsel nach hinten mehr spitz, fast rechtwinklig (Abb. 45). Linke und rechte Tergitseite mit 3 langen und 1 kurzen Borstensförsatz Abb. 46. Sternit 8 (Abb. 47)  
**E. spinimargo** Wittmer
- 16. Anhängsel schwarz . . . . . 17
- Anhängsel hell . . . . . 18
- 17. Tergit 8 bis zur Hälfte ausgerandet, 2 scharfe Spitzen bildend (Abb. 48). Sternit 8 tief und breit ausgerandet (Abb. 49). Anhängseloberfläche mit Grube (Abb. 50) **E. ferganicus** Wittmer
- Tergit 8 gerundet (Abb. 51). Sternit 8 dreifach in verschiedener Tiefe ausgerandet (Abb. 52). Anhängseloberfläche ohne Grube (Abb. 53) **E. decorus** Abeille de Perrin\*

---

\* Die beiden Arten **E. decorus** Abeille de Perrin und **E. tripictus** Abeille de Perrin sind sich sehr ähnlich. Die Färbung der Anhängsel ist variabel, es ist möglich, dass es sich um eine Art handelt. Der Typus von **E. tripictus** Abeille de Perrin müsste eingesehen werden.

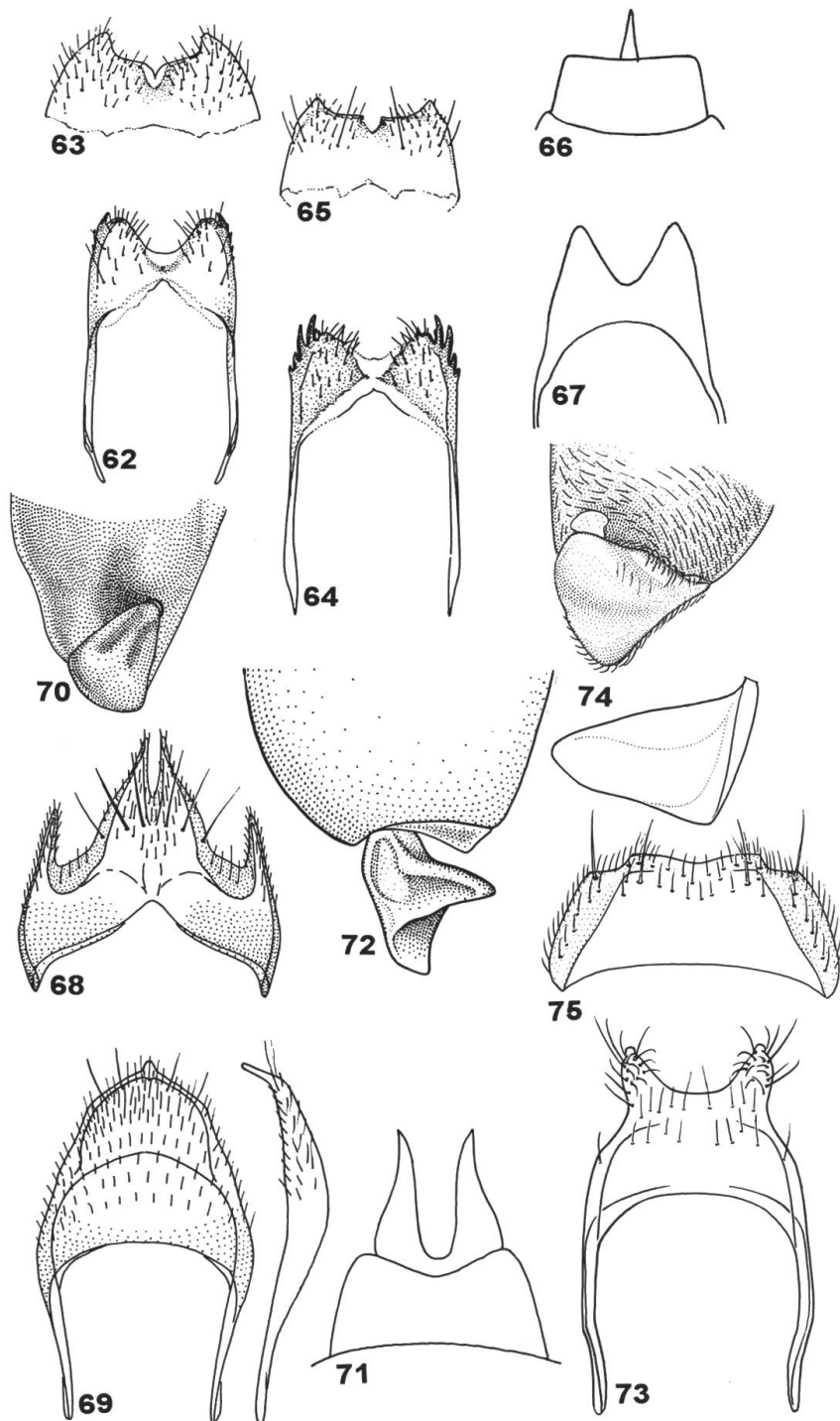


Abb. 62–75: 62–63: *Ebaeus. tshernyshevi* Wittmer: 62, Tergit 8. 63, Sternit 8. 64–65: *E. maculithorax* Wittmer: 64, Tergit 8. 65, Sternit 8. 66–67: *E. levesulcatus* Wittmer: 66, Tergit 8. 67, Sternit 8. 68–70: *E. poecilus* Iablokoff–Khnzorian: 68, Sternit 8. 69, Tergit 8, rechts daneben im Profil. 70, Apex der linken Flügeldecke. 71–72: *E. majeri* Švihla: 71, Tergit 8. 72, Apex der linken Flügeldecke. 73–75: *E. scutellaris* Pic: 73, Tergit 8. 74, Apex der rechten Flügeldecke. 75, Sternit 8.

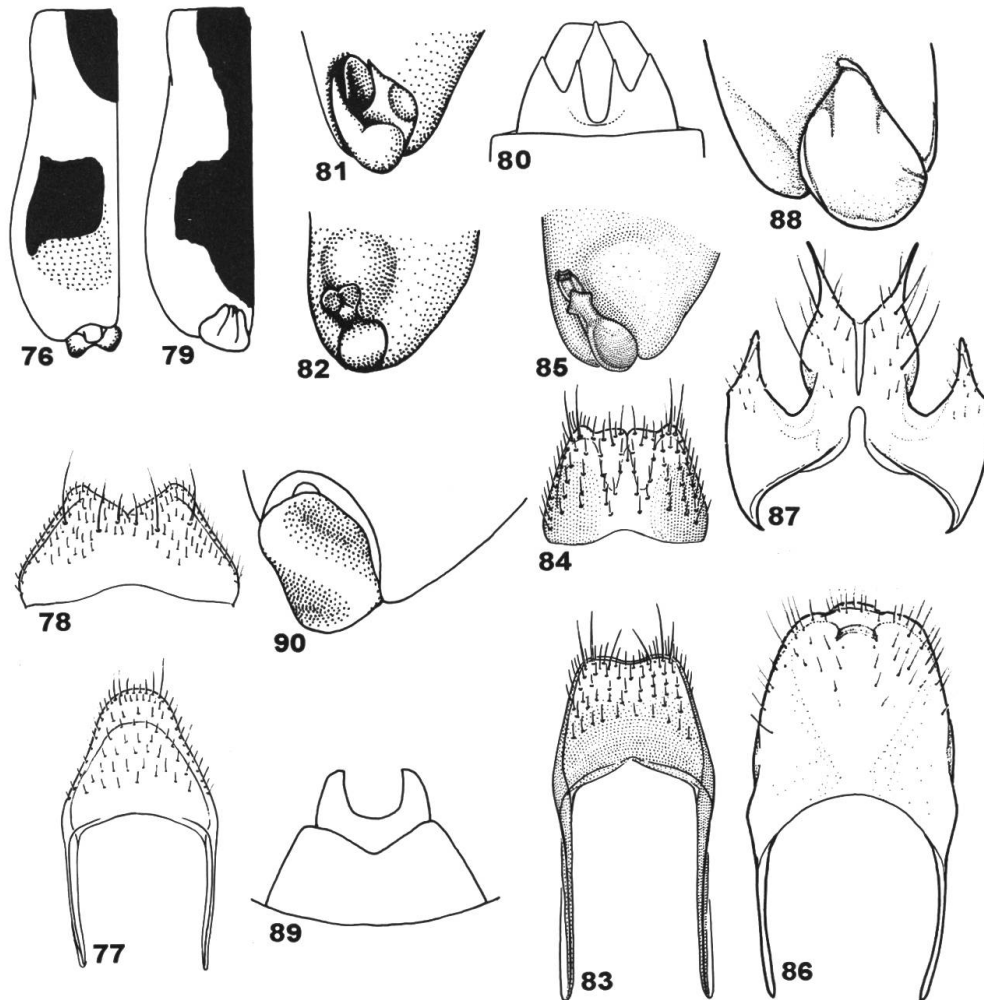


Abb. 76–90: 76: *Ebaeus pallidiceps* Wittmer: 76, linke Flügeldecke. 77–79: *E. delicatulus* Wittmer: 77, Tergit 8. 78, Sternit 8. 79, linke Flügeldecke. 80–81: *E. tibiaemaculatus* Wittmer: 80, Sternit 8. 81, Apex der rechten Flügeldecke. 82: *E. scheibei* Wittmer: 82, Apex der rechten Flügeldecke. 83–85: *E. wittmerorum* Švihla: 83, Tergit 8. 84, Sternit 8. 85, Apex der rechten Flügeldecke. 86–88: *E. tergalis* Wittmer: 86, Tergit 8. 87, Sternit 8. 88, Apex der linken Flügeldecke. 89–90: *E. kukkulensis* Švihla: 89, Tergit 8. 90, Apex der rechten Flügeldecke.

18. Anhängsel 2 mal breiter als lang . . . . . 19

– Anhängsel 1.5-mal breiter als lang, oder wenig länger als breit 20

19. Anhängsel an der Basis leicht ausgerandet, Apex breiter (Abb. 54)

**E. robusticornis** Wittmer

– Anhängsel an der Basis fast gerade, Apex schmaler (Abb. 55). Tergit 8 (Abb. 56). Sternit 8 (Abb. 57)

**E. kasachstanicus** Švihla

20. Anhängsel 1.5-mal breiter als lang, gelb bis schwarz (Abb. 53)

**E. decorus** Abeille de Perrin

- Anhängsel länger als breit, länglich viereckig (ex Beschreibung)  
**E. tripictus** Abeille de Perrin\*
- 21. Jede Tergitseite glatt (Abb. 58). Halsschildband freistehend, oder die Basis berührend. Schulterbeulen hell. Anhängsel (Abb. 59). Sternit 8 (Abb. 60) **E. karakumensis** Wittmer
  - Jede Tergitseite mit einem langen Dorn, oder mit Kamm . . . 22
- 22. Tergit 8 dreifach ausgerandet, einmal in der Mitte breit und seitlich kurz, so dass 4 Spitzen gebildet werden, jede Tergitseite mit einem langen Dorn (Abb. 61) **E. streiceki** Švihla
  - Tergit 8 fast bis zur Hälfte ausgerandet, jede Tergitseite mit Kamm . . . . . 23
- 23. Tergit 8 mit kurzem Borstensfortsatz (Abb. 62). Sternit 8 (Abb. 63) **E. tshernyshevi** Wittmer
  - Jede Tergitseite mit 2 langen und 2 kurzen Borstensfortsätzen (Abb. 64). Sternit 8 (Abb. 65) **E. maculithorax** Wittmer
- 24. Halsschild ganz schwarz. Wangen hell. Basale 1/2 bis 2/3 der Flügeldecken schwarz. Tergit 8 eingeschnitten.  
**E. limbellus tianschanensis** Wittmer
  - Halsschild ganz hell, oder mit Band, oder schwarz mit heller Seitenmakel . . . . . 25
- 25. Kopfbasis ganz schwarz, nur Clypeus hell . . . . . 26
  - Kopfbasis ganz hell, oder mit schwarzer Makel . . . . . 30
- 26. Nur basaler Teil (1/4) der Flügeldecken schwarz, Rest hell. Tergit 8 fast gerade (Abb. 66). Sternit 8 (Abb. 67) **E. levesulcatus** Wittmer
  - Flügeldecken auf der basalen Hälfte schwarz, dahinter mit schwarzen Makeln . . . . . 27
- 27. Sternit 8 dreifach ausgerandet, einmal eng in der Mitte und seitlich, 4 scharfe Spitzen bildend (Abb. 68). Halsschild gelborange, wenigstens mit bräunlicher kleiner, undeutlicher Makel. Apex von T. 8 mit ventralwärts gebogenem Fortsatz in der Mitte (Abb. 69). Anhängsel (Abb. 70) **E. poecilus** Iablokoff-Khnzorian
  - Sternit 8 anders gebildet . . . . . 28
- 28. Tergit 8 eng und tief eingeschnitten, 2 scharfe Spitzen bildend (Abb. 71). Anhängsel (Abb. 72) **E. majeri** Švihla
  - Tergit 8 ausgerandet, Apex jederseits gerundet oder 2 stumpfe Spitzen bildend . . . . . 29
- 29. Tergit 8 breit ausgerandet, 2 kleine stumpfe Spitzen bildend (Abb. 73). Oberfläche des Anhängsels nicht glatt (Abb. 74). Sternit 8 (Abb. 75) **E. scutellaris** Pic

- Tergit 8 weniger breit ausgerandet, jede Seite gerundet (Abb. 14).  
Oberfläche des Anhängsels glatt (Abb. 13). Sternit 8 (Abb. 15)  
**E. lopatini** n.sp.
- 30. Kopf ganz gelb, selten mit dunkelm Scheitel. Anhängsel (Abb. 76)  
**E. pallidiceps** Wittmer
  - Kopf mit Makel . . . . . 31
- 31. Tergit 8 gerundet (Abb. 77). Sternit 8 (Abb. 78). Flügeldecke mit  
Anhängsel (Abb. 79) **E. delicatulus** Wittmer
  - Tergit 8 fast gerade, oder schwach ausgerandet . . . . . 32
- 32. Sternit 8 dreifach ausgerandet, einmal in der Mitte und seitlich, so  
dass 4 Spitzen entstehen (Abb. 80). Anhängsel an der Spitze tief  
ausgerandet (Abb. 83) **E. tibiaemaculatus** Wittmer
  - Sternit 8 einfach gerundet, oder ausgerandet . . . . . 33
- 33. Anhängsel länger als breit . . . . . 34
  - Anhängsel breiter als lang . . . . . 40
- 34. Anhängsel zwei mal länger als breit, in der Mitte eingeschnürt  
. . . . . 35
  - Anhängsel wenig länger als breit, in der Mitte nicht eingeschnürt  
. . . . . 36
- 35. Basale 3/4 der Flügeldecken schwarz. Sternit 8 ausgerandet.  
Anhängsel (Abb. 82) **E. scheibei** Wittmer
  - Flügeldecken mit schwarzer Zeichnung. Tergit 8 gerundet (Abb. 83).  
Sternit 8 (Abb. 84). Anhängsel (Abb. 85) **E. wittmerorum** Švihla
- 36. Kopf vorwiegend schwarz inklusive der Wangen . . . . . 37
  - Kopf vorwiegend hell inklusive der Wangen . . . . . 38
- 37. Apex von Tergit 8 ziemlich regelmässig gerundet, nicht ausgerandet  
(Abb. 86). Sternit 8 dreifach ausgerandet, einmal in der Mitte und  
seitlich, so dass letzteres 4 scharfe Spitzen bildet (Abb. 87). Helle  
Körperteile gelbbraun. Anhängsel (Abb. 88) **E. tergalis** Wittmer
  - Tergit 8 breit ausgerandet (Abb. 89). Sternit 8 anders gebildet.  
Anhängsel (Abb. 90) **E. kukkulensis** Švihla
- 38. Stirnbasis schwarz, nach vorne in eine 3-eckige Makel verlängert  
(Abb. 91). Halsschild schwarz, nur Basalrand und Basalecken gelb.  
Anhängsel (Abb. 92) **E. dolini** Wittmer
  - Stirnbasis schwarz, in der Mitte nicht nach vorne verlängert. Hals-  
schild hell . . . . . 39
- 39. Apex von Sternit 8 fast bis zur Hälfte ausgerandet (Abb. 93). Ter-  
git 8 verengt, Apex schwach ausgerandet (Abb. 94). Äusseres  
Anhängsel länger als breit, mehr länglich (Abb. 95)  
**E. hissarensis** Wittmer

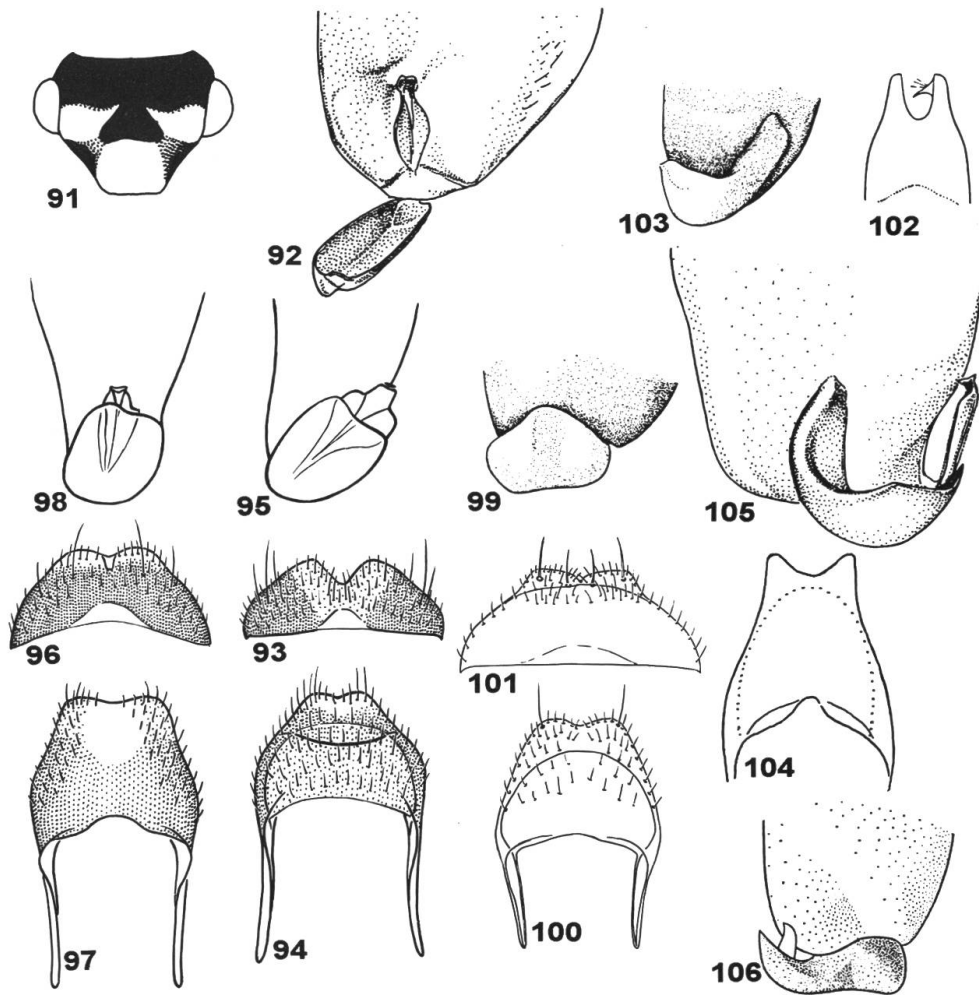


Abb. 91–106: 91–92: *Ebaeus dolini* Wittmer: 91, Kopf. 92, Apex der rechten Flügeldecke. 93–95: *E. hissarensis* Wittmer: 93, Sternit 8. 94, Tergit 8. 95, Apex der rechten Flügeldecke. 96–98: *E. bipartitus* Wittmer: 96, Sternit 8. 97, Tergit 8. 98, Apex der rechten Flügeldecke. 99–101: *E. reductomaculatus* Wittmer: 99, Apex der rechten Flügeldecke. 100, Tergit 8. 101, Sternit 8. 102–103: *E. ornaticeps* Wittmer: 102, Tergit 8. 103, Apex der rechten Flügeldecke. 104–105: *E. turkmenicus* Wittmer: 104, Tergit 8. 105, Apex der linken Flügeldecke. 106: *E. albopictus* Wittmer: 106, Apex der rechten Flügeldecke.

- Apex von Sternit 8 schwach ausgerandet (Abb. 96). Apex von Tergit 8 fast gerade (Abb. 97). Äusseres Anhängsel kaum länger als breit, mehr gerundet (Abb. 98) **E. bipartitus** Wittmer
- 40. Anhängsel wenig breiter als lang (Abb. 99). Tergit 8 (Abb. 100). Sternit 8 (Abb. 101) **E. reductomaculatus** Wittmer
- Anhängsel zwei mal breiter als lang . . . . . 41



- Aktiv: V.  
Holotypus: MP.
7. **delicatulus** Wittmer, 1956.  
Afghanistan, Nuristan, Baschgaltal, h = 1200 m.  
Aktiv: V.  
Holotypus: NHMB.
8. **dolini** Wittmer, 1995.  
Turkmenien, Kara-Kala.  
Aktiv: V.  
Holotypus: NHMB.
9. **erythropus** Peyron, 1887.  
Kasachstan, Dshungarskiy Alatau, Sjemirjetschensk.  
Aktiv: VII.  
Holotypus: MP wahrscheinlich.
10. **fischeri** Fleischer, 1909.  
Turkestan, Aulie-Ata; Kasachstan, Taldy-Kurgan.  
Aktiv: V.  
Holotypus: NMP wahrscheinlich.
11. **ferganicus** Wittmer, 1970.  
Uzbekistan, N Alai Gbs. NW Tian-Schan, Nuratau Gbs.,  
h = 1000–2000 m.  
Aktiv: IV–V.  
Holotypus: ZIN.
12. **gibbosus** Wittmer, 1956.  
Afghanistan, Kandahar-Kuna, h = 950 m.  
Aktiv: III.  
Holotypus: NHMB.
13. **hissarensis** Wittmer, 1992.  
Tadshikistan, Gissar Gbs., Takob Schlucht, h = 1600 m.  
Aktiv: IV.  
Holotypus: ZMM.
14. **karakumensis** Wittmer, 1970.  
Turkmenien, Karakum Wüste, Repetek.  
Aktiv: IV.  
Holotypus: ZIN.
15. **kasachstanicus** Švihla, 1980.  
Kasachstan, Kara-Tau Gbs., Dshambul, h = 1200; Uzbekistan,  
Tschatkal Gbs., Tschimgan Berg, h = 1900 m. Maidantal Gbs.,  
Pskem Gbs., h = 1000–1500 m.  
Aktiv: V.  
Holotypus: NMP.

16. **kukkulensis** Švihla, 1987.  
Uzbekistan, Alai Gbs., Kuk-kul, h = 1800 m.  
Aktiv: IV.  
Holotypus: NMP.
17. **levesulcatus** Wittmer, 1992.  
Afghanistan, Band-Amir, Bend-Kaibat.  
Aktiv: VII.  
Holotypus: NHMB.
18. **limbellus** Peyron, 1877.  
ssp. **tianschanensis** Wittmer, 1970.  
Kirgisien, Tian-Shan.  
Aktiv: V.  
Holotypus: NHMB.
19. **lopatini** n.sp.  
SO Kasakstan, Tscharyn Fluss, Kurtagoi  
Aktiv: VII.  
Holotypus: coll. Dowgailo.
20. **maculiceps** n.sp.  
Uzbekistan, Nuratau, Kugitang Gbs.  
Aktiv: IV–V.  
Holotypus: coll. Dowgailo.
21. **maculithorax** Wittmer, 1995.  
Turkestan, Aunan.  
Aktiv: ?  
Holotypus: NHMB.
22. **majeri** Švihla, 1987.  
Uzbekistan, Alai Gbs., Kuk-kul, h = 1800 m.  
Aktiv: IV.  
Holotypus: NMP.
23. **oculifer** Abeille de Perrin, 1885.  
Turkestan.  
Aktiv: ?  
Holotypus: PM wahrscheinlich.
24. **ornaticeps** Wittmer, 1956.  
Afghanistan, Nuristan, Baschgaltal, h = 1200 m.  
Aktiv: IV.  
Holotypus: NHMB.
25. **pallidiceps** Wittmer, 1956.  
Afghanistan, Nuristan, Baschgaltal, h = 1200 m.  
Aktiv: IV.  
Holotypus: NHMB.

26. **pallidipes** Wittmer, 1992.  
Uzbekistan, Maidantal Gbs., Aktasch, h = 1400 m.  
Aktiv: V.  
Holotypus: NHMB.
27. **pedicularius** Fabricius, 1777.  
Turkestan.  
Aktiv: VII.  
Holotypus: Kopenhagen Museum wahrscheinlich.
28. **personatus** Abeille de Perrin, 1885.  
Turkestan.  
Aktiv: ?  
Holotypus: ?
29. **poecilus** Iablokoff-Khnzorian, 1978.  
Turkmenien, Karluk, Firüsa.  
Aktiv: IV.  
Holotypus: Zoologisches Institut, Erewan.
30. **reductomaculatus** Wittmer, 1956.  
Afghanistan, Nuristan, Baschgaltal, h = 1200 m.  
Aktiv: IV–V.  
Holotypus: NHMB.
31. **robusticornis** Wittmer, 1964.  
Alai Gbs., Goungalak.  
Aktiv: V.  
Holotypus: ZIN.
32. **rufipes** Morawiz, 1861.  
Kasachstan, Acktübinsk, Küste des Kaspischen Meeres.  
Aktiv: VI.  
Holotypus: Zoologisches Kabinett, Universität Odessa wahrscheinlich.
33. **scheibei** Wittmer, 1956.  
Afganistan, Kabul.  
Aktiv: V.  
Holotypus: NHMB.
34. **scutellaris** Pic, 1908.  
Turkmenien, Duab, Schikari, Kundistal, h = 1000 m; Afghanistan,  
Badachschan, Koktschatal, h = 2000 m.  
Aktiv: VII.  
Holotypus: MP.
35. **spinifer** Wittmer, 1970.  
Kirgisien, Tian-Schan Gbs., Kujlu.  
Aktiv: VII.  
Holotypus: ZIN.

36. **spinimargo** Wittmer, 1970.  
Turkmenien, Tedshen.  
Afghanistan, Nuristan, Baschgaltal, h = 1200 m.  
Aktiv: ?  
Holotypus: NHMB.
37. **streiceki** Švihla, 1980.  
Tadshikistan, Tachnaup, Babatag Gbs., Baldultschaschma.  
Aktiv: IV–V.  
Holotypus: NMP.
38. **tergalis** Wittmer, 1992.  
Turkmenien, Kara-Kala, Kara-Eltschi.  
Aktiv: IV.  
Holotypus: NHMB.
39. **tibiaemaculatus** Wittmer, 1956.  
Afghanistan, Nuristan, Baschgaltal, h = 1200 m.  
Aktiv: IV.  
Holotypus: NHMB.
40. **tripictus** Abeille de Perrin, 1890.  
Buchara, Afghanistan?  
Aktiv: ?  
Holotypus: ?
41. **tritinctus** Wittmer, 1956.  
Afghanistan, Dshellalabad, h = 500.  
Aktiv: III.  
Holotypus: NHMB.
42. **tshernyshevi** Wittmer, 1995.  
Turkmenien, Gezgyadyk Gbs., Polekhatum  
Aktiv: IV.  
Holotypus: SZM.
43. **turkmenicus** Wittmer, 1995.  
Turkmenien, Kara-Kala.  
Aktiv: V.  
Holotypus: NHMB.
44. **turkestanicus** Abeille de Perrin, 1885.  
Uzbekistan, Kirgisien, Tadshikistan, Afghanistan Gebirge.  
Aktiv: IV–V.  
Holotypus: ?
45. **wittmerorum** Švihla, 1980.  
Tadshikistan, Duschambe; Uzbekistan, Kugitang-Tau Gbs.,  
h = 1200 m.

Aktiv: V.

Holotypus: NMP.

### Literatur

- ABEILLE DE PERRIN, E. (1885): *Nouveaux documents pour servir à l'histoire des malachides*. Revue d'Entomologie (4): 4–28: 139–153.
- ABEILLE DE PERRIN, E. (1890): *Coléoptères rares ou nouveaux de la France*. Revue d'Entomologie (9): 145–148.
- ABEILLE DE PERRIN, E. (1891): *Malachides d'Europe et pays voisins*. Annales de la Société Entomologique de France (6)10: 364–397.
- GREINER, J. (1937): *Malachiidae*, Pars 159, W. Junk editus a S. Schenkling, Coleopterorum Catalogus.
- HORN, W. (1926): *Über den Verbleib der entomologischen Sammlungen der Welt ein Beitrag zur Geschichte der Entomo- Museologie*. Supplementa Entomologica. (12, 15) 3.
- IABLOKOFF-KHNZORIAN, S.M. (1978): *Vier neue Käferarten aus der Familie Malachiidae (Coleoptera) aus der UdSSR*. Dokladi Akad. Nauk Armen SSR, 66: 172–176.
- PIC, M. (1908): *Descriptions ou diagnoses et notes diverses*. L'Echange. Revue Linnéenne 24: 41–46.
- PEYRON, M.E. (1877): *Etude sur les Malachiides d'Europe et du bassin de la Méditerranée*. Paris, L'Abeille 15: 1–301.
- ŠVIHLA, V. (1980): *New species of Malachiinae (Coleoptera, Melyridae) from Soviet Central Asia*. Acta entomologica bohemoslovaca, 77: 394–399.
- ŠVIHLA, V. (1987): *Results of the Czechoslovak–Iranian entomological expeditions to Iran 1973 and 1977 (Coleoptera, Melyridae, Malachiinae)*. Acta entomologica musei nationalis Pragae, 42: 277–286.
- WITTMER, W. (1956): *Afghanistan Ausbeute von Herrn J. Klapperich, 1952–1953*. Revue suisse de Zoologie, 63(2): 115–161.
- WITTMER, W. (1964): 27. *Beitrag zur Kenntnis der palaearktischen Malacodermata*. Ent. Arb. Mus. G. Frey, Tutzing 15(1): 100–105.
- WITTMER, W. (1968): *Die Ebaeus-Arten aus der Gruppe turkestanicus – caspius*. Mitt. der Schweiz. Ent. Ges. 41: 205–210.
- WITTMER, W. (1970): 47. *Beitrag zur Kenntnis der palaearktischen Cantharidae und Malachiidae*. Mitt. der Schweiz. Ent. Ges. 43(2): 15, (10); 73–98.
- WITTMER, W. (1992): 78. *Beitrag zur Kenntnis der palaearktischen Malachiidae (Coleoptera)*. Mitt. Ent. Ges. Basel, 42(1): 11–34.
- WITTMER, W. (1995): *Zur Kenntnis der Familie Malachiidae (Coleoptera) 2. Beitrag*. Ent. Basiliensia, 18: 287–391.
- WITTMER, W. (1995): *Zur Kenntnis der Familie Malachiidae (Coleoptera). Teil I*. Mitt. Schweiz. Ent. Ges. 68: 263–295.

Kirill Dowgailo,  
Grizewez str. 6–56,  
Minsk, 220 009, Weissrussland.

